

兵庫県 正員 登田幸治
 建設省土木研究所 〃 田村敬一
 " " 相沢興

1.はじめに

応答変位法に基づく地中構造物の耐震設計では正弦波状の波動が水平方向に伝播すると考えて地盤の変形を求めるとしているが、波動の伝播速度については実測資料が皆無である、たこと等からほとんど研究されていないのが実情である。そこで、本小文は、土木研究所構内で得られた三次元同時地震観測記録とともに、地震動の伝播方向を考慮した上で、その水平方向の伝播速度について予備的に検討した結果をとりまとめたものである。

2.解析対象記録

解析の対象となる記録は表1に示す6地震の際に土木研究所構内(図1参照)の地表面下2mの観測点(AZN2, AZS2, AZE2, AZW2)で得られた加速度記録である。一例として、EQ-21の際にAZN2点およびAZS2点で得られた記録波形を示すと、図2のようになる。

3.震央の方向性の検討

いま、各観測点において観測された加速度記録の東西(x)成分および南北(y)成分を、それそれ、 α_x および α_y とすれば、図3に示すように座標軸を反時計回りに θ だけ回転させたX軸およびY軸に沿う成分 α_x および α_y は、次のように表される。

$$\alpha_x = \alpha_x \cos \theta + \alpha_y \sin \theta \quad \alpha_y = -\alpha_x \sin \theta + \alpha_y \cos \theta \quad (1)$$

α_x と α_y の相互相関係数 R_{xy} は次式で求められる。

$$R_{xy} = \int_0^T \alpha_x(t) \alpha_y(t) dt / \sqrt{\int_0^T \alpha_x^2(t) dt \cdot \int_0^T \alpha_y^2(t) dt} \quad (2)$$

ここで、Tは記録の継続時間である。 θ を10刻みで 0° から 180° まで変化させ、式(2)により R_{xy} を求めた例を示すと、図4のようになる。なお、図中には震央の方向角 θ_0 も合せて示している。図4より、EQ-21およびEQ-34については、多少のはらつきは見られるが、 $\theta_0=0^\circ$ になる角度 θ_0 と θ が比較的よく一致し、震央方向とそれに直交する方向に座標軸をとる場合に2成分の相関が最も低くなることがわかる。

4.伝播速度の試算

3.の検討結果に基づき、地震動の卓越方向が識別できたEQ-16, EQ-21, EQ-34およびEQ-45について、以下のように伝播速度の試算を行う。すなはち、いま、2点i, jにおいて座標軸を θ だけ回転させたX軸(震央方向)に沿う成分を α_{ijx} および α_{jix} とすれば、その相互相関係数 R_{ijx} は次式で求められる。

$$R_{ijx}(t) = \int_0^T \alpha_{ijx}(t) \alpha_{jix}(t+t) dt / \sqrt{\int_0^T \alpha_{ijx}^2(t) dt \cdot \int_0^T \alpha_{jix}^2(t) dt} \quad (3)$$

ここで、 t は位相差である。また、(i, j)の組み合せとしては、(AZN2, AZS2)および(AZE2, AZW2)の2組の組合せを考えることにする。 $R_{ijx}(t)$ が最大値をとる位相差を τ_{max} とし、2点間の震央方向への投射距離をl(図5参照)とすれば、伝播速度 v は次のように求められる。

$$v = l / \tau_{max} \quad (4)$$

また、Y軸(震央直交方向)成分についても、同様に伝播速度が求められる。このようにして求めた伝播速度の一覧を示すと、表2のようになる。ここで、負の伝播速度は伝播の方向が見かけ上と反対であることを示している。当該地点のせん断波速度が、地表面下50m附近までは250m/sec程度、それ以下では、400m/sec程度であるのに比較して、式(4)より求めた伝播速度は極めて大きいことがわかる。また、ここでは紙面の都合上詳細は省略するが、原記録に振動数領域でバンドパスフィルターをかけ、各振動数帯域ごとに算出した伝播速度についても

せん断波速度よりも非常に大きくなる傾向が認められる。

5.震源の方向性の検討

上で述べた手法と同様に、記録の震央方向(X)成分と上下成分をもとに鉛直面内で座標軸を角度 φ だけ回転させた場合の相互相関係数を求めると、図6のようになる。図6より、 $\varphi = 90^\circ$ 付近で相互相関係数は0になり、記録を水平成分と鉛直成分に分離した場合にX成分の相関が最も低くなることがわかる。

6.まとめ

本解析で検討した範囲内では、地表面付近の水平面内における地震動の伝播速度は非常に大きく、地震動は鉛直下方から垂直に伝播していくと考えられる。

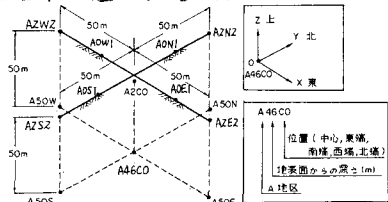
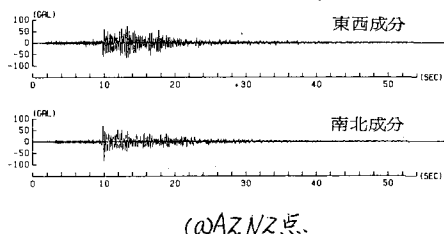
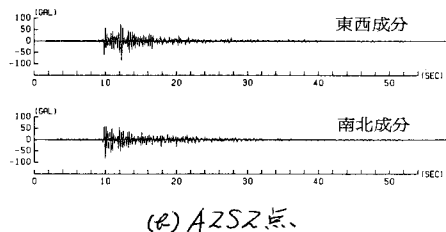


図1 三次元同時地震観測点の配置



(a) AZNZ点



(b) AZSZ点

図2 加速度波形の例 (EQ-21)

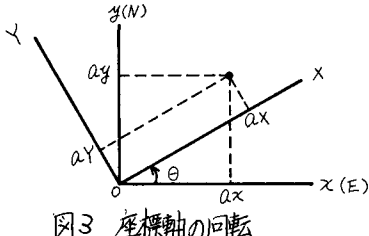


図3 座標軸の回転

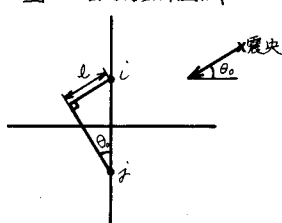


図5 伝播距離の定義

表1 解析対象地震の諸元

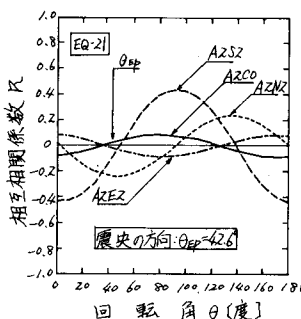
No.	発生年月日	震域	震度 (km)	マグニチュード (km)	震央距離 (km)
EQ-13	1980.9.25	千葉県 中部	80	6.1	69
EQ-21	1982.3.7	震源 濃溝	60	5.5	64
EQ-22	1982.7.23	震源 濃溝	30	7.0	189
EQ-28	1983.2.27	茨城 犀川南部	72	6.0	22
EQ-34	1983.10.28	茨城 横須賀沖	60	5.2	13
EQ-45	1984.3.6	鳥取 近海	460	7.9	745

表2 伝播速度の一覧

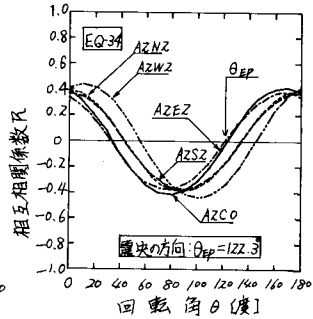
記録 No.	伝播方向	成分	Rmax	Tmax (sec)	速度 (cm/sec)
EQ-16	AZN2→AZSZ	X	0.758	0.010	3420.2
		Y	0.801	0.020	1710.1
EQ-21	AZN2→AZSZ	X	0.577	0.010	1430.0
		Y	0.613	0.0	∞
EQ-34	AZN2→AZSZ	X	0.391	-0.010	-5660.0 ^a
		Y	0.657	-0.020	-4330.0
	AZN2→A2EZ	X	0.209	0.050	1000.0
		Y	0.528	0.035	1428.6
EQ-45	AZN2→AZSZ	X	0.850	0.0	∞
		Y	0.877	0.0	∞

1) X: 震央方向 Y: 震央直交方向

2) 良い伝播速度は伝播の方向が見かけ上と反対であることを示す。

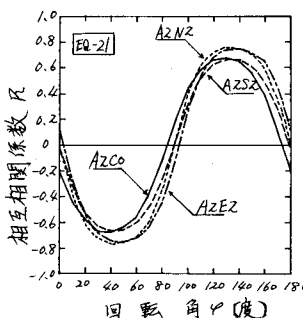


(a) EQ-21

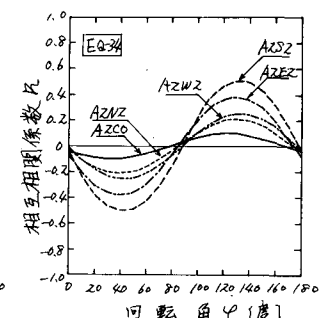


(b) EQ-34

図4 座標軸の回転角と相互相関係数の関係



(a) EQ-21



(b) EQ-34

図6 鉛直面内の回転角と相互相関係数の関係